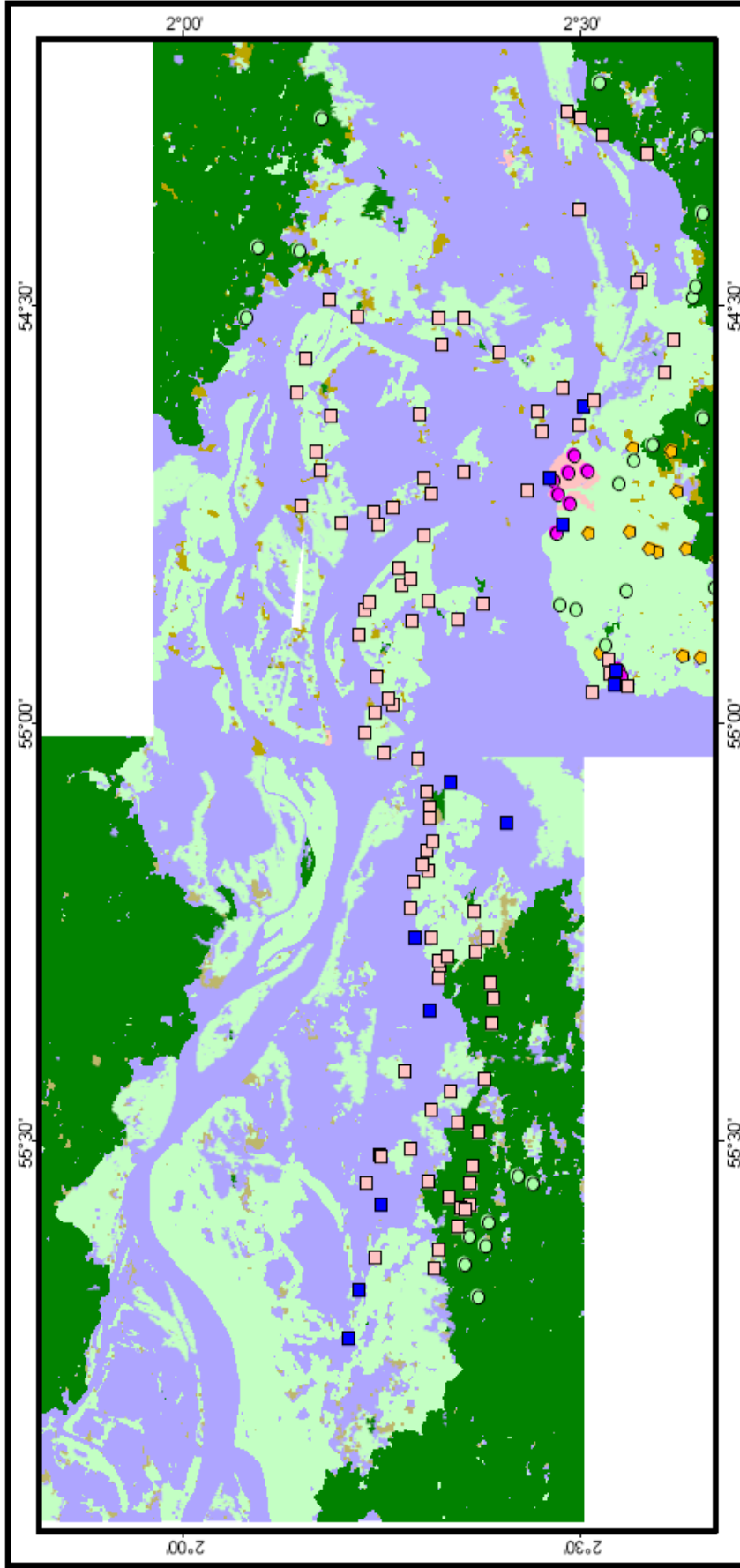


ANEXO B

Figuras, fotos de campo e tabelas.



Resultado da Classificação da Imagem Landsat Municípios da região de Santarém - PA

Legenda

- águas
- área urbana
- floresta
- solo exposto
- várzea

Identificação dos pontos coletados em campo

- águas
- área urbana
- floresta
- solo exposto, área agrícola ou pastagem
- várzea

Imagem do Sensor
 Etm+ Landsat 7
Orbita Pontos:
 227-61 e 62 de 16/Octubro/2002 e 228-61 e 62 de 08/Novembro/2002

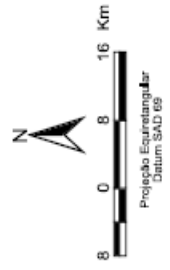


Figura 01. Resultado da classificação das imagens Landsat na região de Santarém-PA.

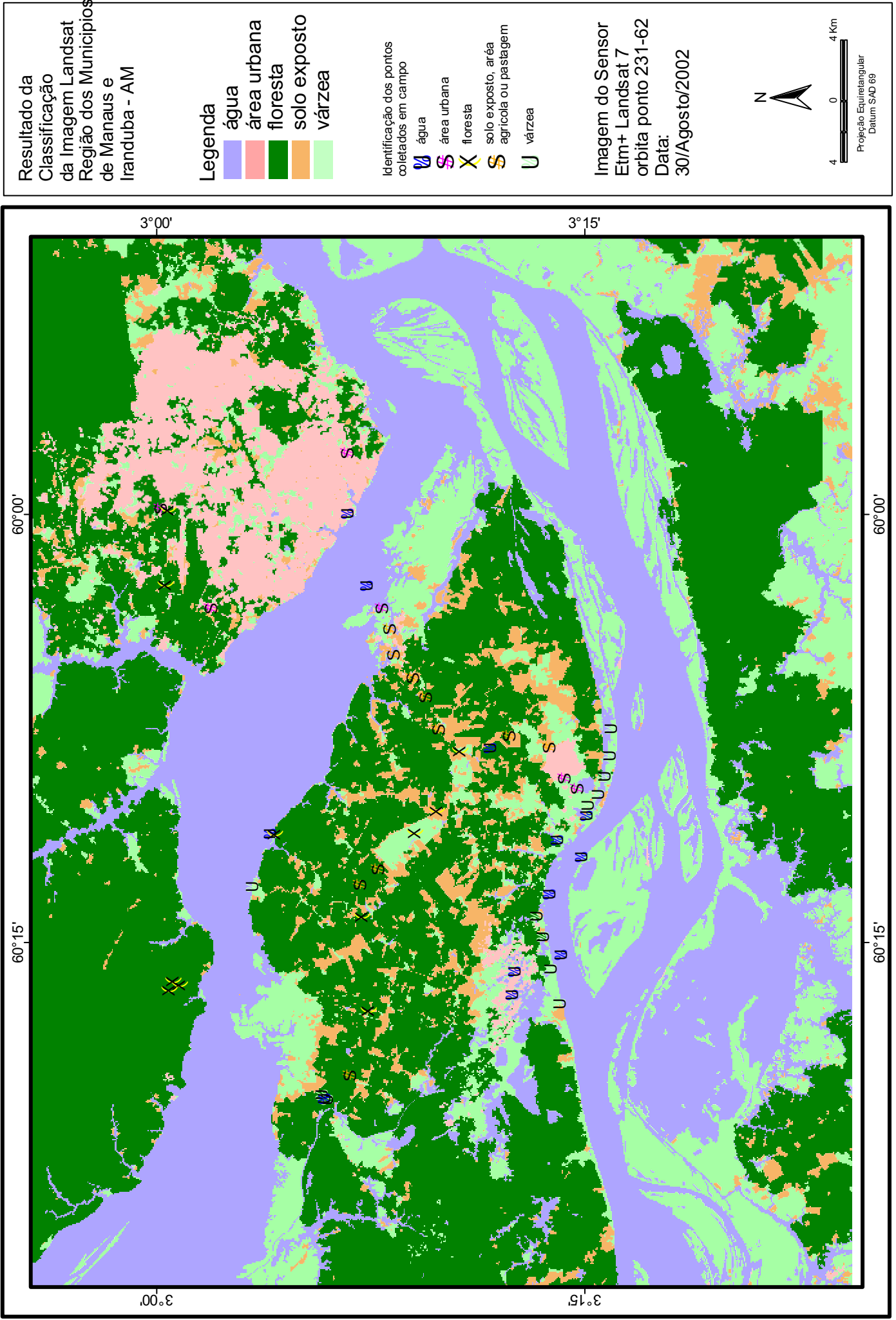
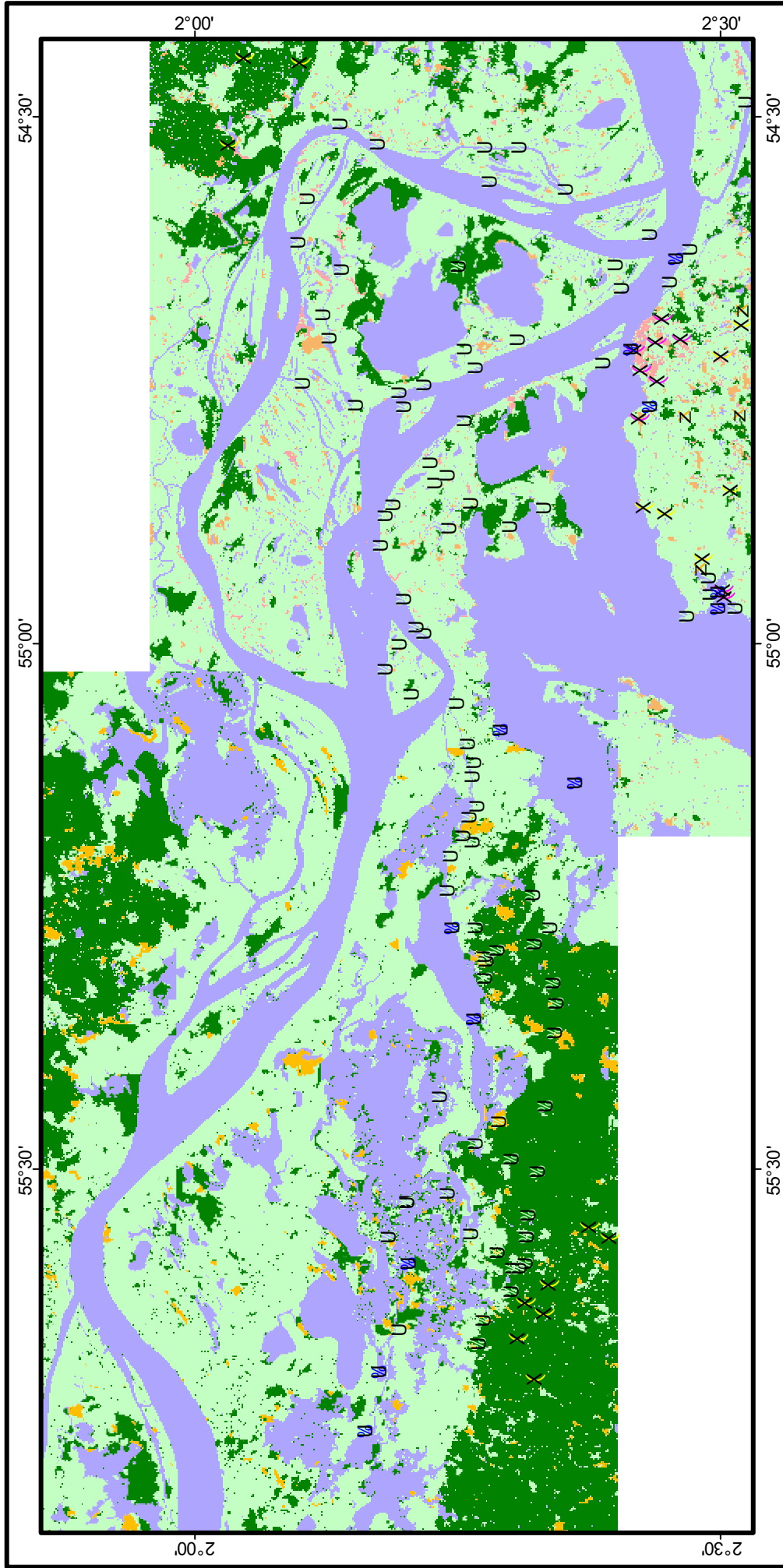


Figura 02. Resultado da classificação das imagens Landsat na região de Manaus-AM.



Resultado da Classificação da Imagem Radsat da Região do Município de Santarém - PA

Legenda

- águas
- área urbana
- floresta
- solo exposto
- várzea

Identificação dos pontos coletados em campo

- águas
- área urbana
- floresta
- solo exposto, área agrícola ou pastagem
- várzea

Imagem do Satélite Radsat-1
Data: 30/Novembro/1997

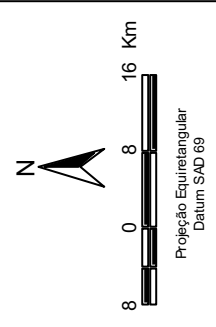
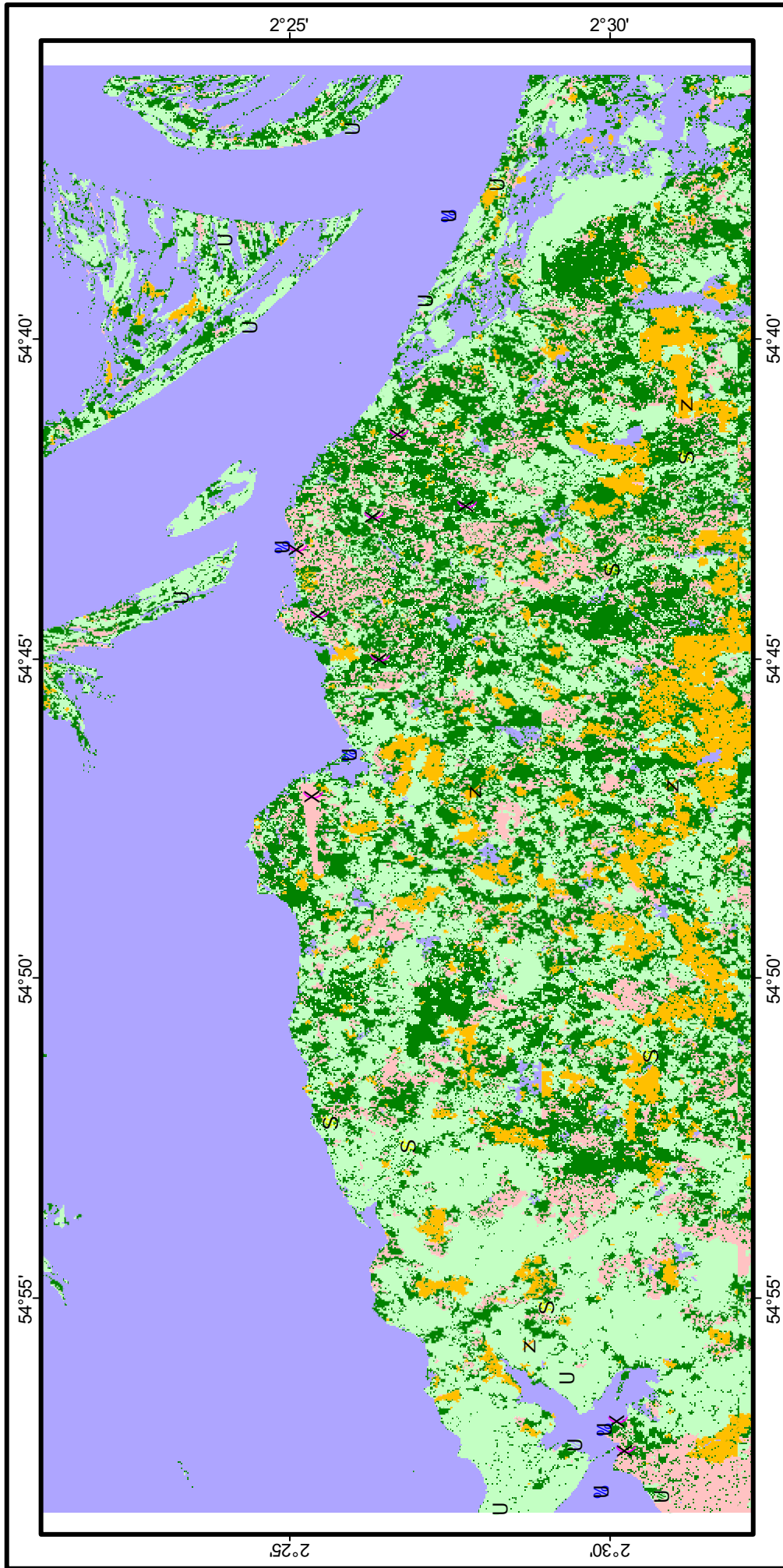


Figura 03. Resultado da classificação das imagens Radsat na região de Santarém-PA.



Resultado da Classificação da Imagem do sensor R99B/SAR
Município de Santarém - PA

Legenda

- águas
- área urbana
- floresta
- solo exposto
- várzea

Identificação dos pontos coletados em campo

- águas
- área urbana
- floresta
- solo exposto, área agrícola ou pastagem
- várzea

Imagem do Sensor Aerotransportado R99B/SAR
Banda X - HH
Data: 21/Agosto/2004

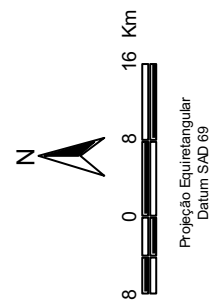


Figura 04. Resultado da classificação das imagens R99B/SAR na região de Santarém-PA.

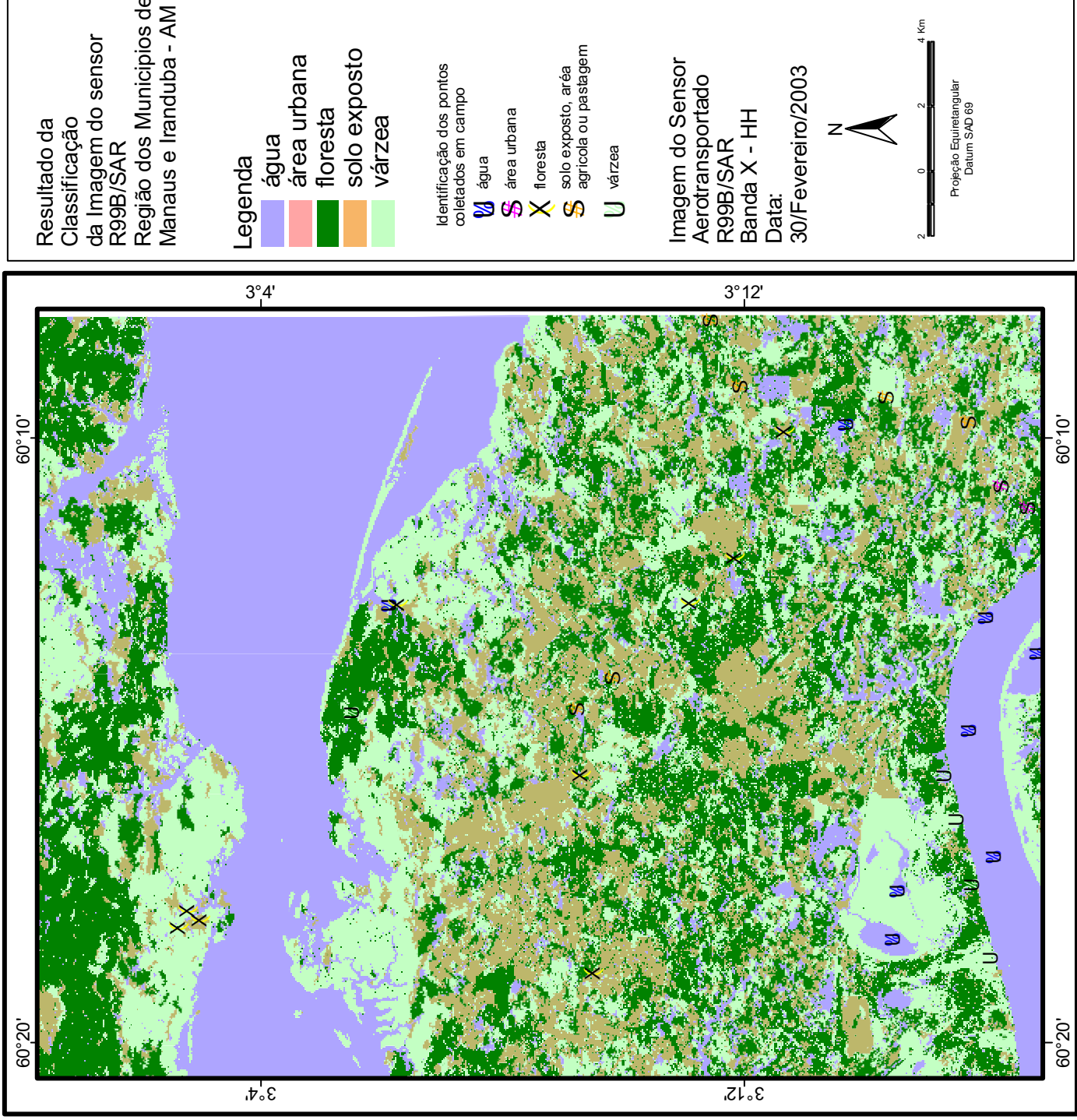
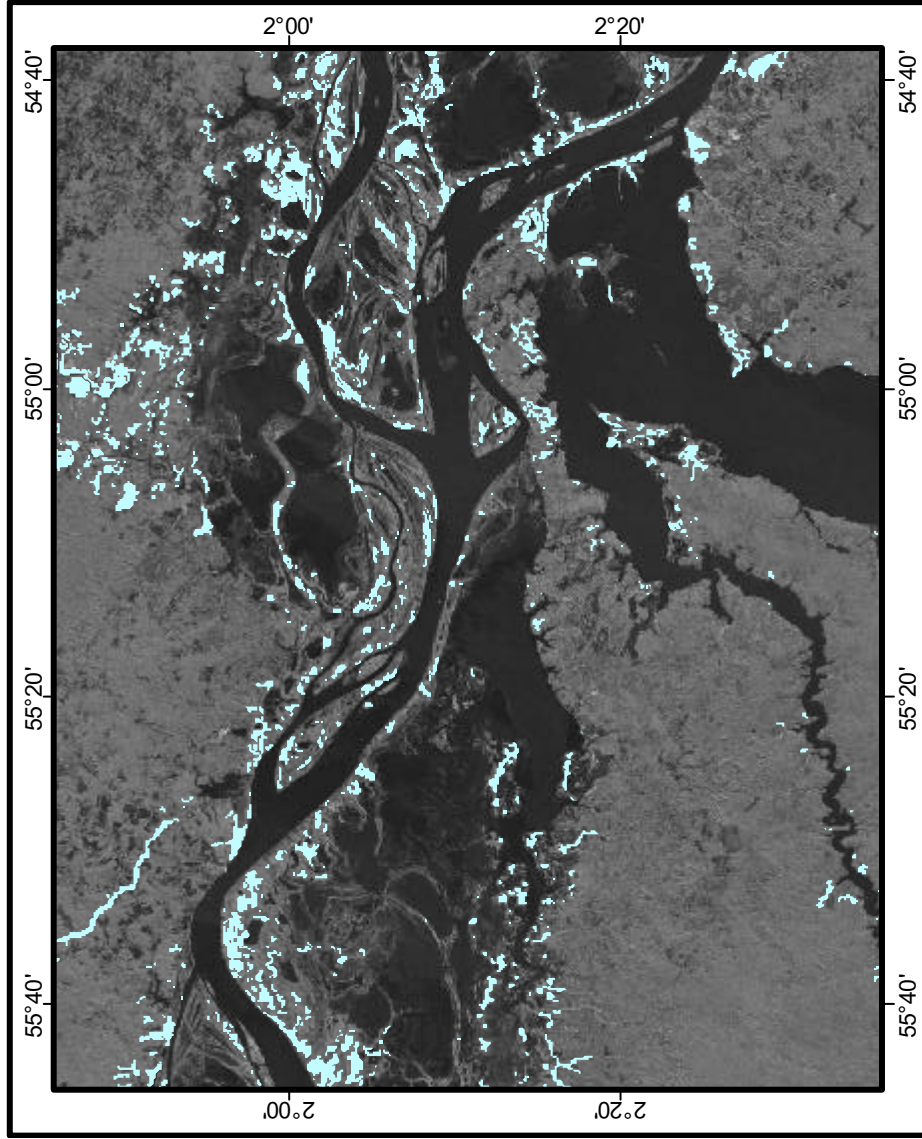


Figura 05. Resultado da classificação das imagens R99B/SAR na região de Manaus-AM.



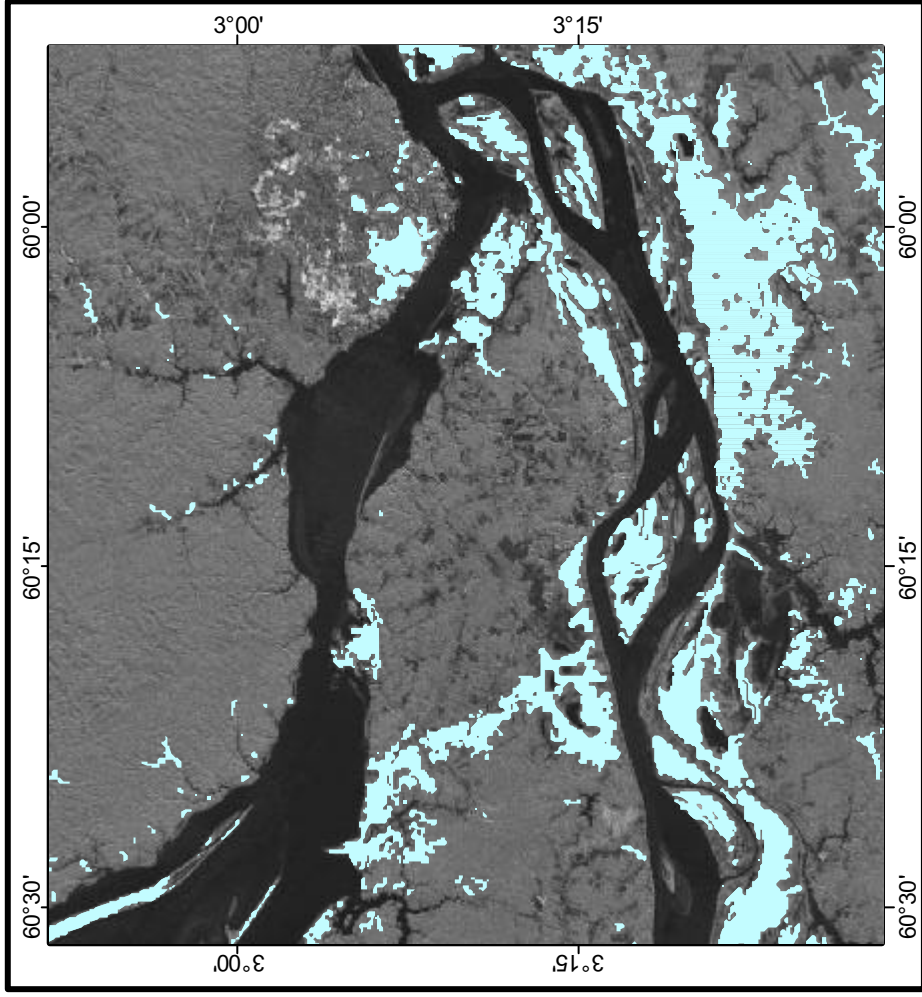
Resultado da Processamento da Imagem JERS
Região do Município de Santarém - PA

Índice de inundação
possíveis áreas de várzea

Imagem do Satélite JERS
Data: Novembro/1998



Projeção Equirretangular
Datum SAD 68



Resultado da Processamento da Imagem JERS
Região do Município de Manaus e Itanduba - AM

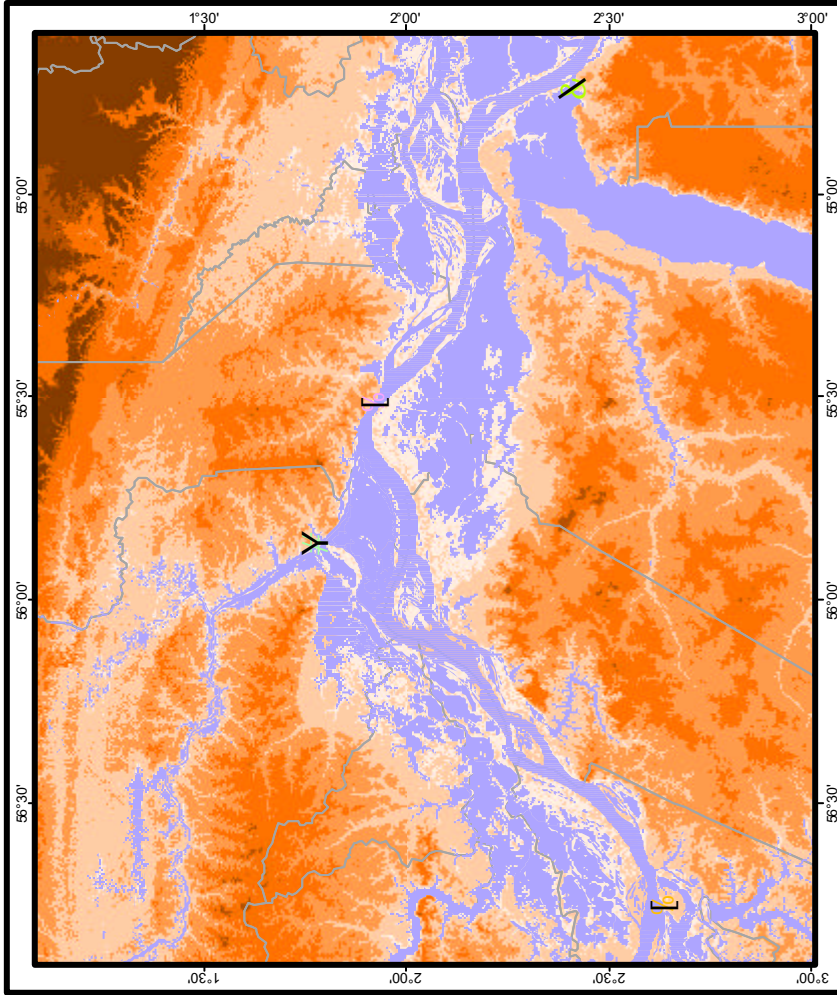
Índice de inundação
possíveis áreas de várzea

Imagem do Satélite JERS
Data: Novembro/1998

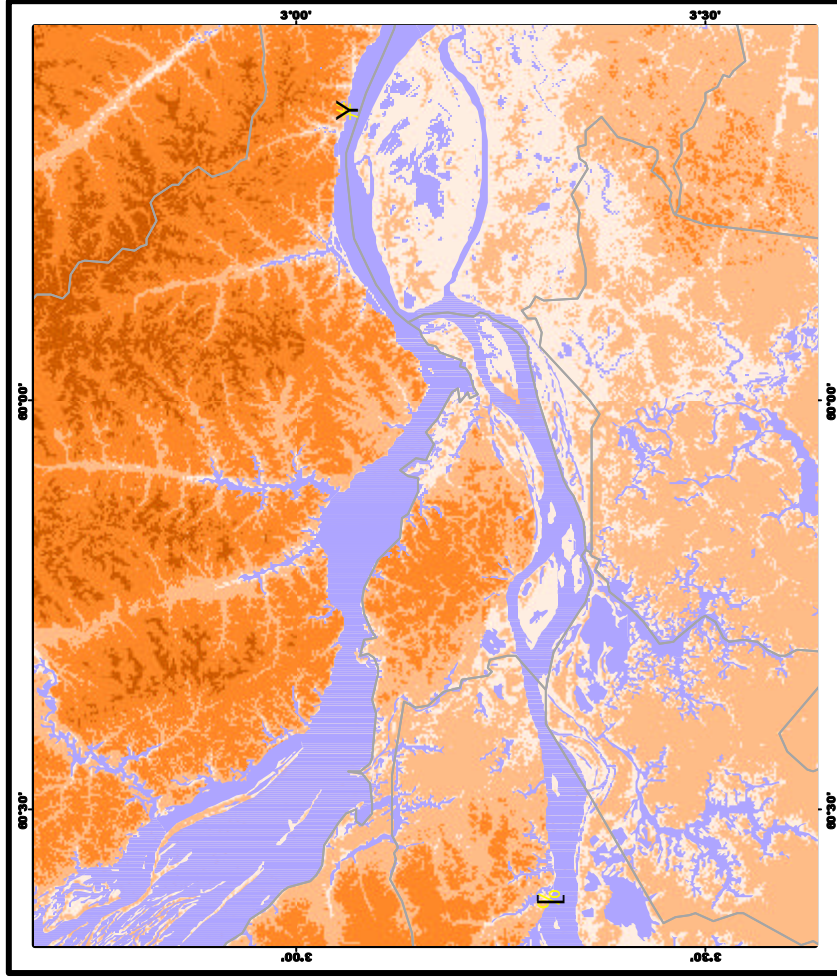
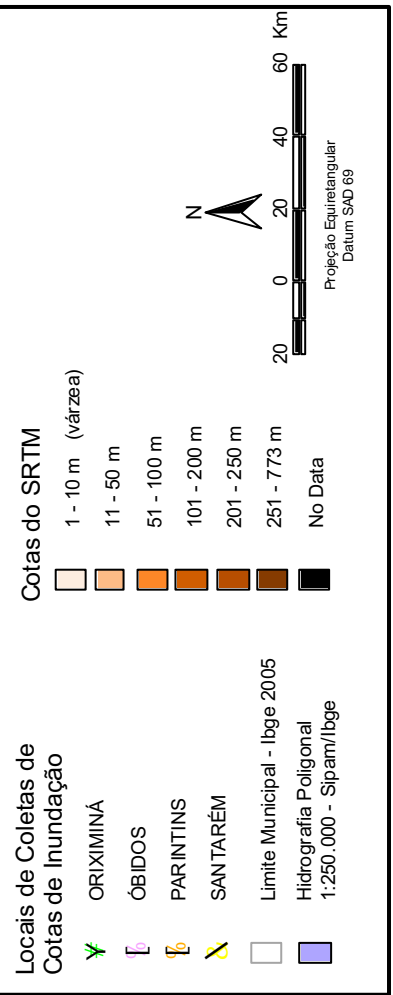


Projeção Equirretangular
Datum SAD 68

Figura 06. Resultado do processamento com as imagens JERS-1, região de Santarém-PA (a) e Manaus-AM (b).



Mapa de Localização de várzeas usando os dados do SRTM Região de Santarém - PA



Mapa de Localização de várzeas usando os dados do SRTM Região de Manaus - AM

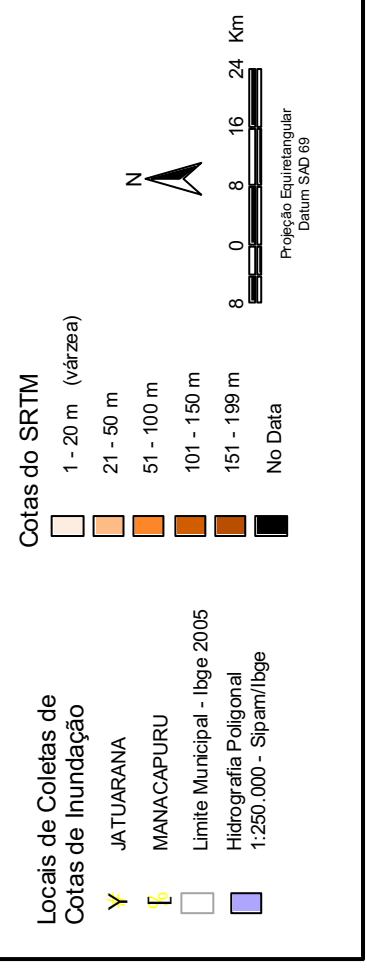
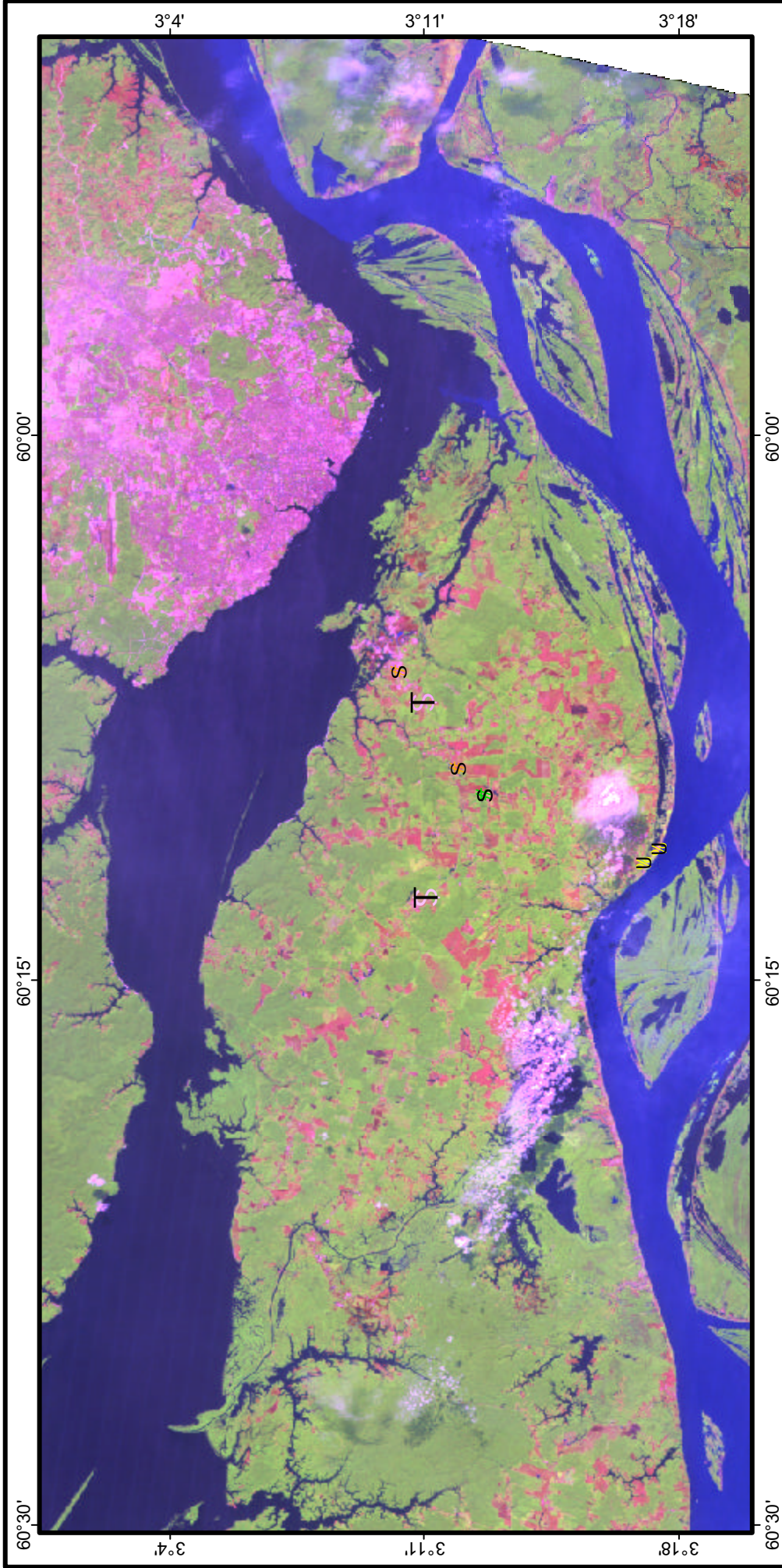


Figura 07. Resultado do processamento dos dados SRTM da região de Santarém-PA (a) e Manaus-AM (b).

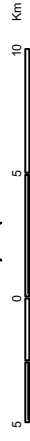


Resultado da
Fusão das Imagens IHS
Landsat bandas 3,4 e 5
(30m) com a banda 8
Pancromática (10m)
Municípios da
região de
Manaus-AM

Identificação dos pontos
coletados em campo

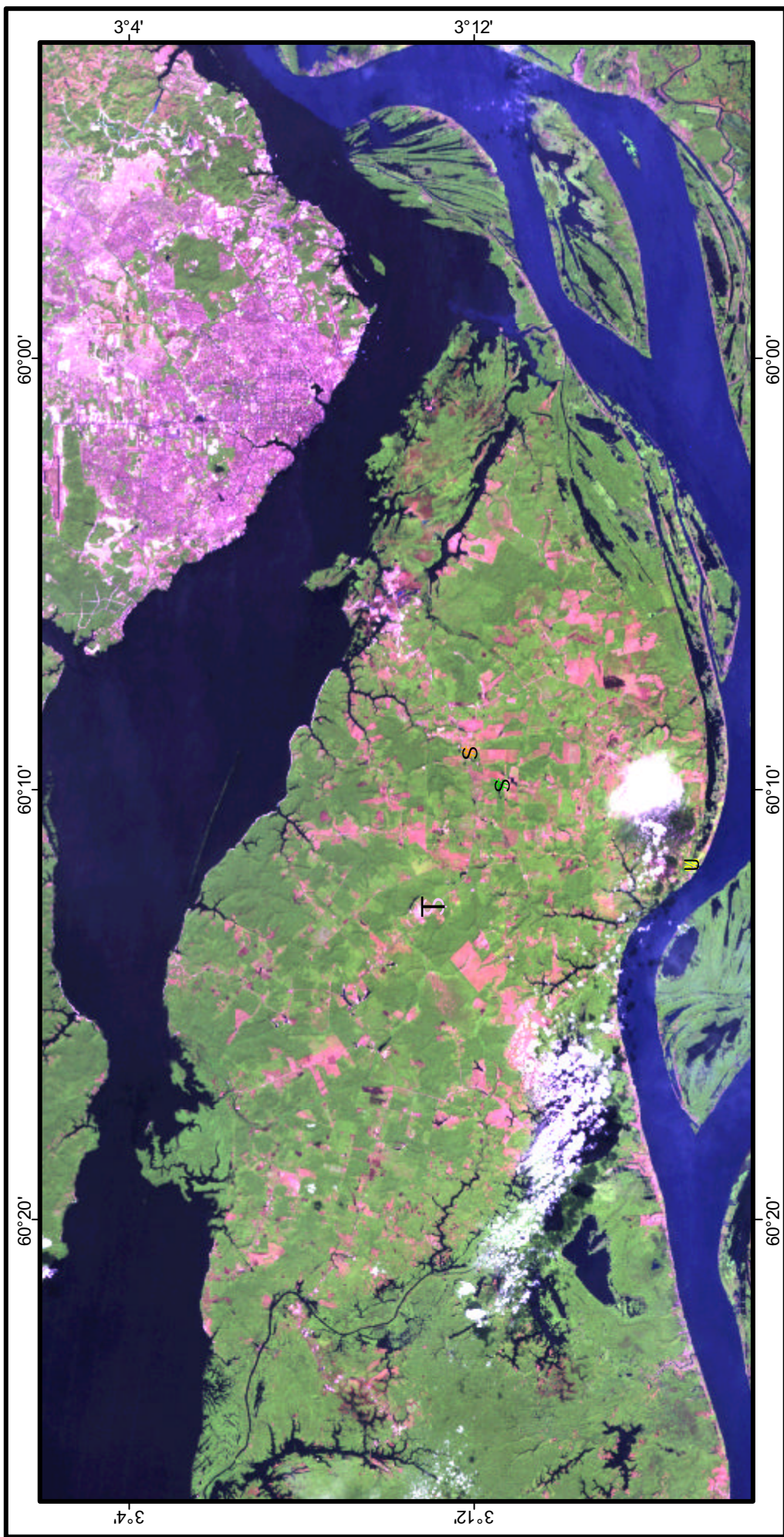
- T** floresta
- S** solo exposto
- U** área agrícola ou pastagem
- U** várzea

Imagem do Sensor
Etm+ Landsat 7
Datas:
Orbita Ponto 231-62
30/Ago/2002



Projeção Equitangular
Datum SAD 69

Figura 08. Resultado da Fusão IHS das imagens Landsat na região de Manaus-AM.



Resultado da
Fusão das Imagens
Componentes Principais
Landsat bandas 3, 4 e 5
(30m) com a banda 8
Panorâmica (10m)
Municípios da
região de Manaus-AM

Identificação dos pontos
coletados em campo

- S floresta
- T solo exposto
- S área agrícola ou pastagem
- U várzea

Imagem do Sensor
Etm+ Landsat 7
Datas:
Orbita Ponto 231-62
30/Agosto/2002



Projeção Equitriangular
Datum SAD 69

Figura 09. Resultado da fusão por componentes principais das imagens Landsat na região de Manaus-AM.